

# Исследование методов прогнозирования положения космических объектов в задаче предотвращения столкновений

БЕЛЫЙ Г.Ю., ИВАНОВ Д.С.

---

65-Я ВСЕРОССИЙСКАЯ НАУЧНАЯ КОНФЕРЕНЦИЯ МФТИ

6 апреля, 2023 г.

# Введение

- Рассматривается применение **метода тензоров переноса** (state transition tensors, STT) в задаче предотвращения столкновений.
- Метод применяется для **прогнозирования неопределенностей**. Он основан на локальной аппроксимации с помощью полиномов Тейлора.
- Метод STT соединяет в себя **высокую скорость расчета** и достаточную точность оценки.

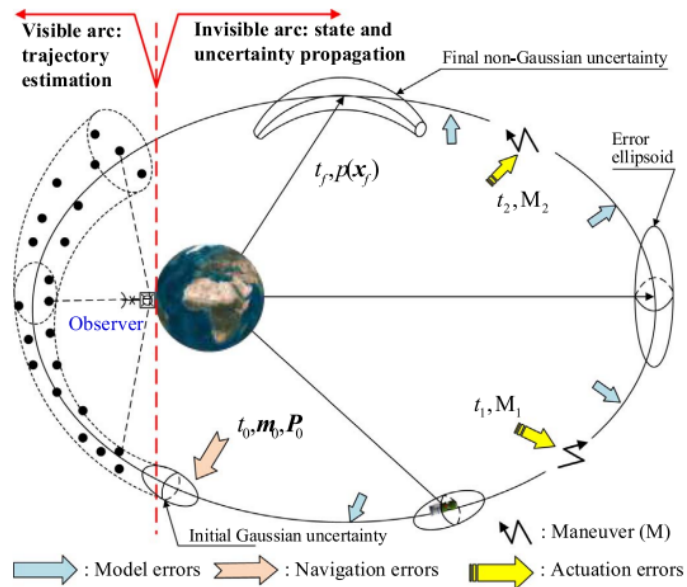


Рис. 1. Процесс прогнозирования неопределенностей

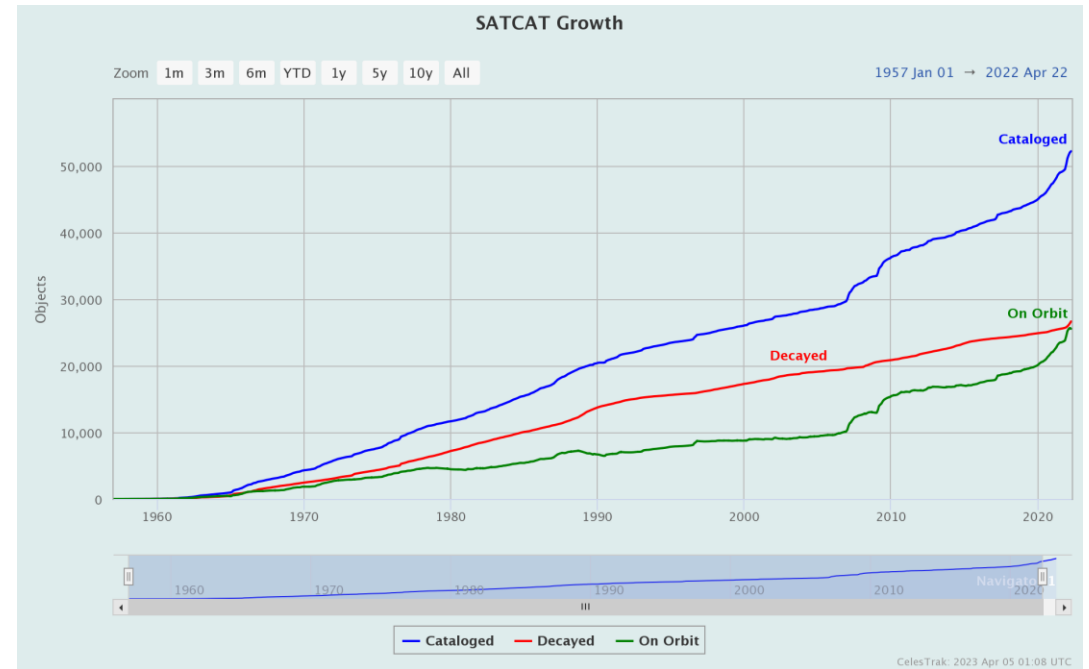


Рис. 2. В настоящее время численность каталога наблюдаемых космических объектов составляет 25,501 КО

Группировка	Численность
Starlink (Gen1 & Gen2), USA	13000
OneWeb, UK	648
Amazon Kuiper, USA	3236
Guo Wang, China	12992

Рис. 3. Планируемые широкомасштабные группировки

# Структура доклада

1. Введение в прогнозирование неопределенностей
  - а) Теоретические основы
  - б) Обзор используемых методов
2. Метод тензоров переноса ( математический аппарат, используемые приближения)
3. Применение в задачах орбитальной динамики (в рамках центрального поля, с учетом гармоник  $J_2$  гравитационного потенциала)
4. Результаты моделирования и сравнительный анализ (на основе метода Монте-Карло)
5. Применения метода тензоров переноса в тестовой задаче предотвращения столкновения

# Теоретические основы

Рассматриваются динамические системы, которые можно описать дифференциальным уравнением вида:

$$\dot{\mathbf{x}} = \mathbf{f}(t, \mathbf{x}), \quad \mathbf{x} = \phi(t; \mathbf{x}^0, t^0)$$

Можно определить **функцию обратного решения**:

$$\mathbf{x}^0 = \psi(t, \mathbf{x}; t^0), \quad \psi(t, \mathbf{x}; t^0) = \phi(t^0; t, \mathbf{x})$$

Для описания неопределенностей используется вероятностный подход. Если положить, что вектор состояния космического аппарата является случайной величиной, то в рамках орбитальной динамики он будет удовлетворять **стохастическому уравнению Ито**:

$$d\mathbf{x}(t) = \mathbf{f}(t, \mathbf{x})dt + \mathbf{G}(t)d\beta(t)$$

где  $\mathbf{x} \in \mathbf{R}^n$  – многомерная случайная величина,  $\beta \in \mathbf{R}^m$  – некоторый шум (с нулевым средним и ковариацией  $\mathbf{Q}(t)$ ). Функция  $\mathbf{f}$  описывает детерминизированную (неслучайную), часть уравнения, а  $\mathbf{G}(t)$  – корреляцию со случайным шумом.

Если случайная величина удовлетворяет уравнению Ито, эволюция ее функции плотности вероятности может быть описана **уравнением Колмогорова**:

$$\frac{\partial p(\mathbf{x}, t)}{\partial t} = - \sum_{i=1}^n \frac{\partial}{\partial x_i} \{p(\mathbf{x}, t) f_i(\mathbf{x}, t)\} + \frac{1}{2} \sum_{i=1}^n \sum_{j=1}^n \frac{\partial^2}{\partial x_i \partial x_j} \left[ p(\mathbf{x}, t) \{G(\mathbf{x}, t) Q(t) G^T(\mathbf{x}, t)\}_{ij} \right]$$

Вероятность нахождения  $\mathbf{x}$  в некотором фазовом объеме, определяемая с помощью функции плотности вероятности – **интегральный инвариант**:

$$\Pr(\mathbf{x} \in \mathcal{B}) = \int_{\mathcal{B}} p[\mathbf{x}(t)] d\mathbf{x} = \int_{\mathcal{B}^0} p[\phi(t; \mathbf{x}^0, t^0)] \left| \frac{\partial \mathbf{x}}{\partial \mathbf{x}^0} \right| d\mathbf{x}^0 = \int_{\mathcal{B}^0} p(\mathbf{x}^0) d\mathbf{x}^0$$

Заменив функцию решения на функцию обратного решения, мы можем получить выражение для функции плотности вероятности в любой момент времени. При этом смена фазовых объемов компенсируется сменой аргументов функции плотности вероятности. Тогда при известном начальном распределении функция плотности вероятности описывается как:

$$p[\phi(t; \mathbf{x}^0, t^0)] = p(\mathbf{x}^0) \left| \frac{\partial \mathbf{x}}{\partial \mathbf{x}^0} \right|^{-1}$$

# Методы прогнозирования неопределенности

- Линейные методы используют линеаризацию (локальную или статистическую) для приближенного решения уравнения Колмогорова. Обладают высокой вычислительной эффективностью.
- Моделирование с помощью методов Монте-Карло не требует знания функции плотности вероятности и позволяет использовать высокоточные пропэгаторы. Считается “стандартом” точности при прогнозировании неопределенности
- Нелинейные методы используют различные разложения (Тейлора, Лежандра и т.д.) для учета нелинейности орбитальной динамики.
- Наибольшую эффективность показывают гибридные методы, соединяющие в себе различные подходы: ( STT + GMM, MC + STT, GMM + UT и другие)

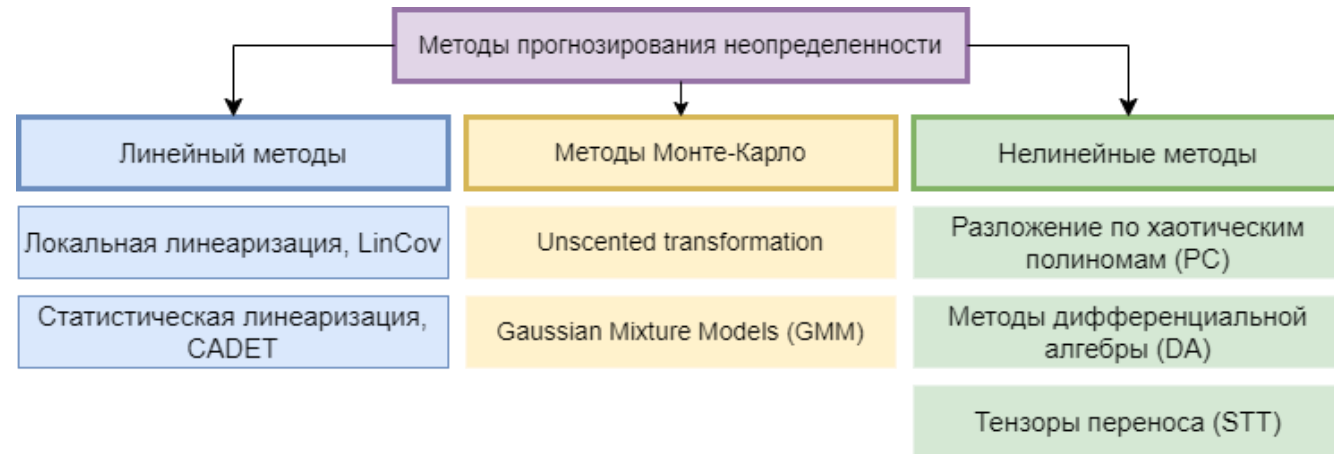


Рис. 4. Используемые методы прогнозирования

# Метод тензоров переноса

Метод основан на нелинейной аппроксимации функции решения  $\phi(t, \mathbf{x})$  с помощью полиномов Тейлора. Разложения производится относительно номинальной траектории ( $\mathbf{x}^*$ ), полученной с помощью интегрирования начального среднего состояния до некоторого момента времени. Рассчитывается **прогноз отклонения относительно номинальной траектории** ( $\mathbf{X} = \mathbf{x} - \mathbf{x}^*$ ). Так разложения отклонения порядка  $m$  описывается как:

$$\mathbf{X}_i(t) = \sum_{p=1}^m \frac{1}{p!} \Phi_{i,k_1 \dots k_p} \mathbf{X}_{k_1}^0 \dots \mathbf{X}_{k_p}^0$$

Тензор переноса порядка  $p$  определяется выражением (\* означает, что дифференцирование производится по номинальной траектории):

$$\Phi_{i,k_1 \dots k_p} = \left. \frac{\partial^p \mathbf{x}_i}{\partial \mathbf{x}_{k_1}^0 \dots \partial \mathbf{x}_{k_p}^0} \right|_*$$

Аналогично относительного номинальной траектории происходит вычисление вероятностных моментов. Относительное мат. ожидание ( $\mathbf{M} = \mathbf{m} - \mathbf{x}^*$ ) определяется как:

$$\begin{aligned} \mathbf{m}(t) &= \int_{\infty} \mathbf{x}(t) p[\mathbf{x}(t)] d\mathbf{x} = \int_{\infty} \phi(t; \mathbf{x}^0, t^0) p(\mathbf{x}^0) \left| \frac{\partial \mathbf{x}}{\partial \mathbf{x}^0} \right|^{-1} d\mathbf{x}^0 \\ \Leftrightarrow \mathbf{M}_i(t) &= \sum_{p=1}^m \frac{1}{p!} \Phi_{i,k_1 \dots k_p} \int_{\infty} p(\mathbf{X}^0) \left| \frac{\partial \mathbf{x}}{\partial \mathbf{x}^0} \right|^{-1} \mathbf{X}_{k_1}^0 \dots \mathbf{X}_{k_p}^0 d\mathbf{X}^0 \end{aligned}$$

Матрица ковариации определяется аналогично:

$$\begin{aligned} [P](t) &= \int_{\infty} [\mathbf{x}(t) - \mathbf{m}(t)]^T [\mathbf{x}(t) - \mathbf{m}(t)] p[\mathbf{x}(t)] d\mathbf{x} \\ &= \int_{\infty} [\phi(t; \mathbf{x}^0, t^0) - \mathbf{m}(t)]^T [\phi(t; \mathbf{x}^0, t^0) - \mathbf{m}(t)] p(\mathbf{x}^0) \left| \frac{\partial \mathbf{x}}{\partial \mathbf{x}^0} \right|^{-1} d\mathbf{x}^0 \\ \Leftrightarrow [P]_{ij}(t) &= \left[ \sum_{p=1}^m \sum_{q=1}^m \frac{1}{p!q!} \Phi_{i,k_1 \dots k_p} \Phi_{j,l_1 \dots l_q} \int_{\infty} p(\mathbf{X}^0) \left| \frac{\partial \mathbf{x}}{\partial \mathbf{x}^0} \right|^{-1} \mathbf{X}_{k_1}^0 \dots \mathbf{X}_{k_p}^0 \mathbf{X}_{l_1}^0 \dots \mathbf{X}_{l_q}^0 d\mathbf{X}^0 \right] - \mathbf{M}_i(t) \mathbf{M}_j(t) \end{aligned}$$

# Метод тензоров переноса

Для случая центрального поля используется система орбитальных элементов Пуанкаре, которая выражается через кеплеровы элементы орбиты следующим образом:

$$L = \sqrt{\mu a} \quad l = \Omega + \omega + M$$

$$G = -g \tan(\omega + \Omega) \quad g = \sqrt{2L(1 - \sqrt{1 - e^2})} \cos(\omega + \Omega)$$

$$H = -h \tan \Omega \quad h = \sqrt{2L\sqrt{1 - e^2}(1 - \cos i) \cos \Omega}$$

Тогда тензор переноса является функцией только элемента L:

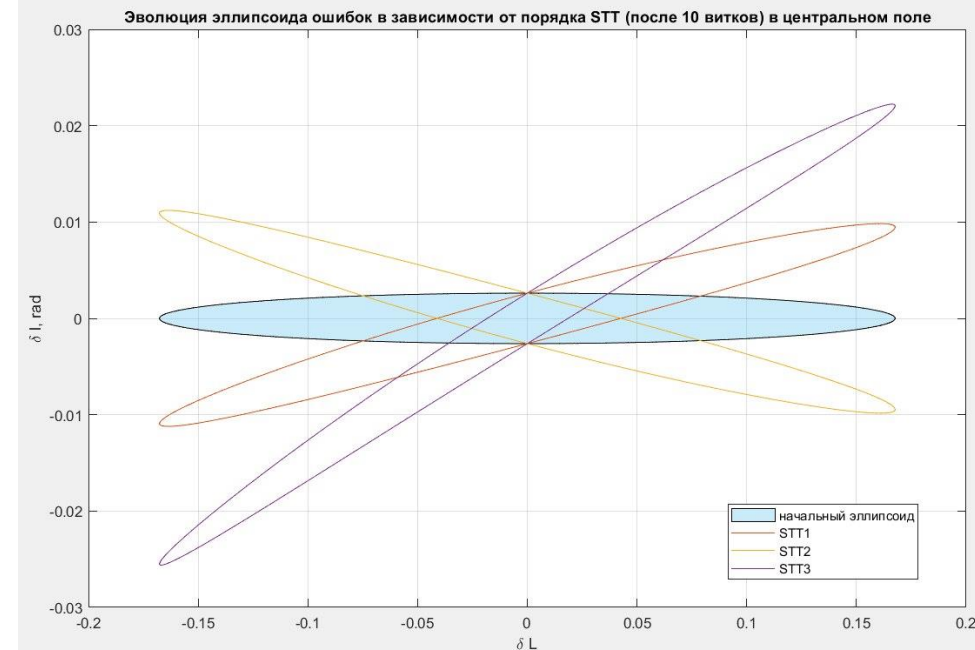
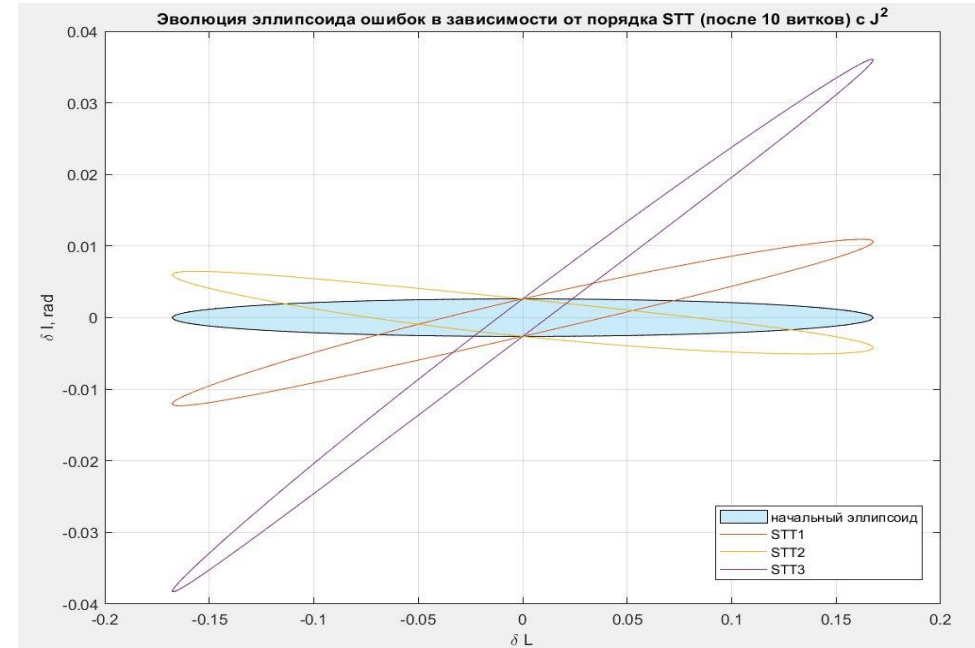
$$\Phi_{i,k_1 \dots k_p} = \begin{cases} [(-1)^p \mu^2 (p+2)! \Delta t / 2!] / [(L^0)^{p+3}] & i = 2 \quad \text{и} \quad k_1 = k_2 = \dots = k_p = 1 \\ 1 & p = 1 \quad \text{и} \quad k_1 = i \\ 0 & \text{в других случаях} \end{cases}$$

В случае учета возмущений от гармоник гравитационного потенциала J2 необходимо произвести дополнительный переход к элементам Делоне для получения аналитических выражений для тензора переноса:

$$\dot{a} = 0 \quad \dot{\Omega} = -\frac{3n^0 r_E^2 J_2}{2(p^0)^2} \cos i^0 \quad \dot{e} = 0$$

$$\dot{\omega} = \frac{3n^0 r_E^2 J_2}{4(p^0)^2} (4 - 5 \sin^2 i^0) \quad \dot{i} = 0$$

$$\dot{M}^0 = \frac{-3n^0 r_E J_2 \sqrt{1 - (e^0)^2}}{4(p^0)^2} (3 \sin^2 i^0 - 2)$$



# Метод Монте-Карло

Для валидации полученного с помощью тензоров переноса распределения принято использовать распределение, вычисленное с помощью метода Монте-Карло.

На известном начальном распределении, задаваемым с помощью матрицы ковариации, с помощью генератора случайных чисел (с нулевым средним) равномерно размещается  $N$  точек. Далее для каждой точки выполняется прогнозирование траектории движения. При этом вероятностные моменты легко определяется из полученной статистики по финальным точкам.

Основываясь на законе больших чисел и сходимости статистики, большое число точек позволяет максимально близко оценить реальное распределение случайной величины. Такой подход часто используется в практических задачах, но он непременно требует больших вычислительных мощностей на фоне значительного числа точек.

**В текущих тестовых случаях используется моделирование с числом точек  $N = 10^4$ .**

$$m_i(t) = \frac{1}{N} \sum_{k=1}^N \phi_i(t; x_k^o, t^o)$$

$$P_{ij}(t) = \frac{1}{N-1} \sum_{k=1}^N \left[ \phi_i(t; x_k^o, t^o) - m_i(t) \right] \left[ \phi_j(t; x_k^o, t^o) - m_j(t) \right]$$

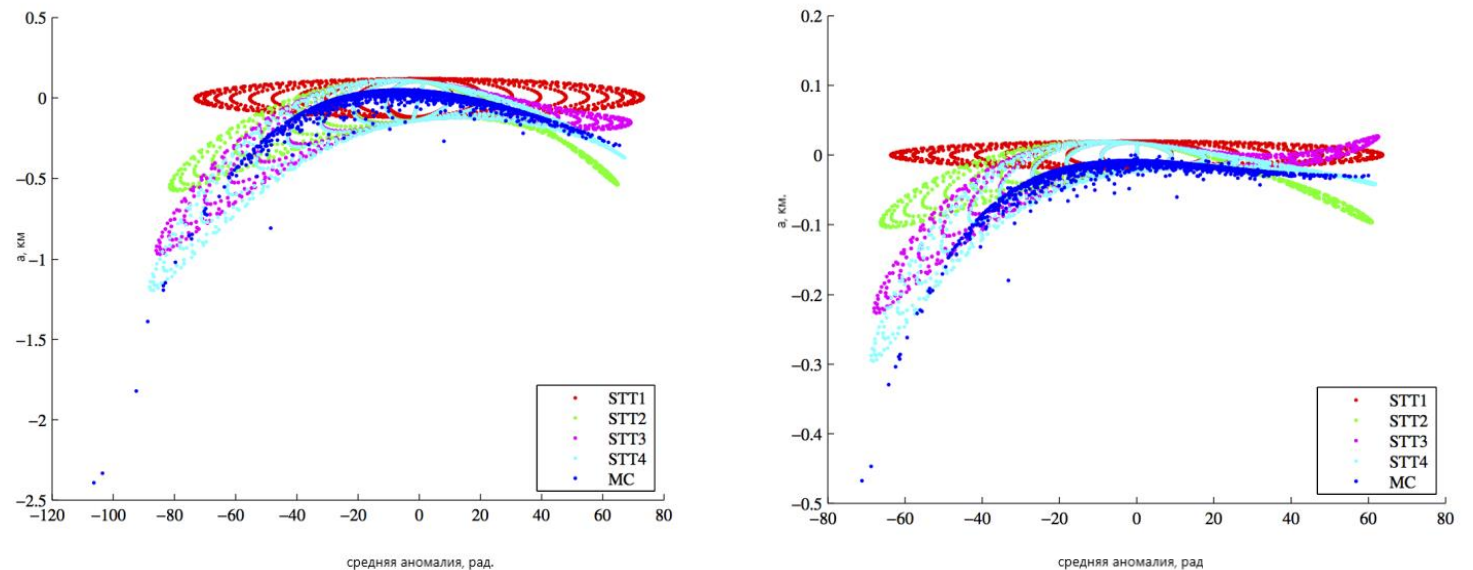


Рис. 5. Пример распределения эллипсоидов ошибок для центрального поля (левый график) и с учетом гармоник  $J_2$  (правый график) в зависимости от используемого метода (после 30 витков).



# Сравнительный анализ

Для анализа рассматривается следующая орбита :

$$a = 6972 \text{ км}, e = i = \Omega = \omega = M = 0$$

$$\rightarrow L = 4.6679, l = G = g = H = h = 0$$

Начальные отклонения по положения 5 км по каждой оси в орбитальной системе координат, по скорости – 1 м/с.

Рассматривались временные промежутки в 5, 10, 30 и 100 витков. Производилось 100 симуляций методом Монте-Карло. Результирующие вероятностные моменты для валидации получались усреднением по всем симуляциям. Ввиду того, что в ходе движения в центральном поле меняется только один орбитальный элемент ( $l$ ), то для него и показываются основные вероятностные соотношения.

В ходе анализа для тензоров 3 порядка (STT3) получена **относительная ошибка вычисления в 4% для мат. ожидания и 1% для компонентов ковариационной матрицы.**

Период прогноза, количество витков	MC		STT1		STT2		STT3	
	<l>	$\Delta, \%$	<l>	$\Delta, \%$	<l>	$\Delta, \%$	<l>	$\Delta, \%$
5	1.132	99	0.011	100	1.043	7.9	1.087	4.0
10	2.177	100	0	100	2.016	7.4	2.096	3.7
30	4.561	72	1.283	72	4.921	7.9	4.399	3.6
100	11.874	58	4.946	58	10.981	7.5	11.41	3.9

Период прогноза, количество витков	MC		STT1		STT2		STT3	
	$cov_{ll}$	$cov_{ll}$	$cov_{ll}$	$cov_{ll}$	$cov_{ll}$	$cov_{ll}$	$cov_{ll}$	$cov_{ll}$
5	-2.138	33	-2.196	35	-2.162	34	-2.151	33
10	-4.584	124	-4.708	132	-4.634	126	-4.612	125
30	-10.503	891	-10.787	954	-10.619	910	-10.567	899
100	-38.911	6893	-39.962	7482	-39.339	7038	-39.148	6966

Рис. 6. Результаты сравнительного анализа для математического ожидания и ненулевых членов матрицы ковариации для орбитального элемента  $l$  \*

	MC	STT1	STT2	STT3
Время вычисления, сек.	639	0.38	3.4	5.7

Рис. 7. Время вычислений для различных методов (период прогноза – 30 витков)

\*приведены результаты для расчетов в центральном поле

# Применение в задаче предотвращения столкновения

Рассматривается возможное применение метода прогнозирования в задаче уклонения от опасного сближения. Проводилось моделирование сближения между тестовыми объектами со следующими орбитами:

$i, ^\circ$	$\Omega, ^\circ$	$e$	$\omega, ^\circ$	$M, ^\circ$	$a, \text{км}$
64	0	0	0	0	800
90	0	0	0	0	805

Момент наибольшего сближения рассчитывался с помощью метода ANCAS, использующий сплайновую интерполяцию с минимизацией по расстоянию. В момент сближения и определялась вероятностные моменты методом STT3.

Далее для валидации алгоритма рассчитывалась вероятность столкновения (метод Patera) – общепринятая метрика оценки опасности сближения.

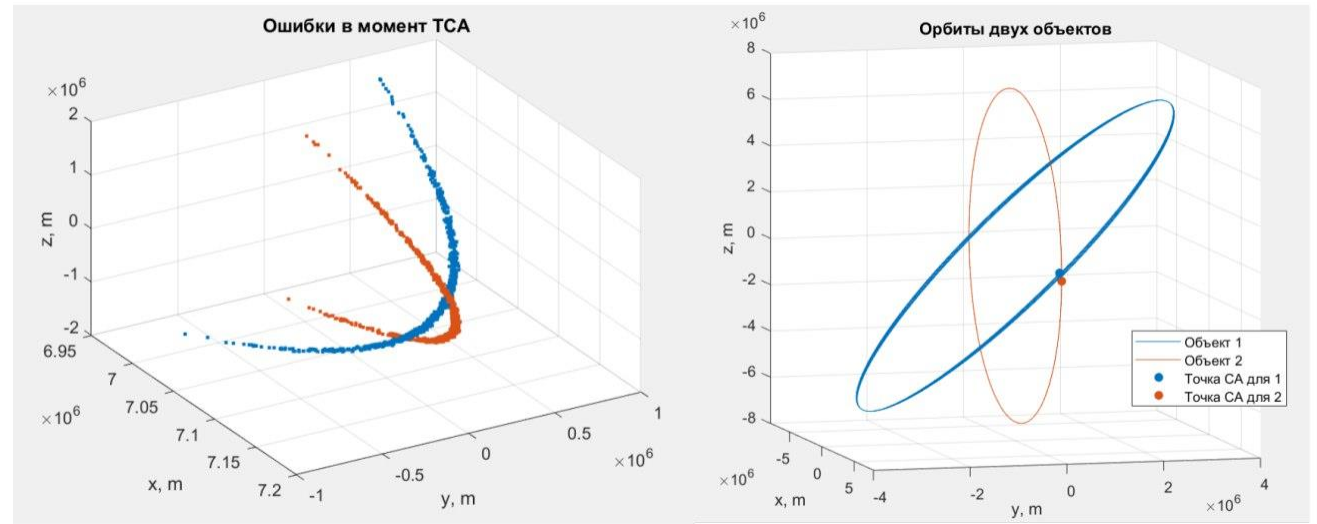


Рис. 8. Пример эволюции возможных положений сближающихся объектов в момент нахождения на минимальном расстоянии ( в данном случае 0.6 км)

**Полученная вероятность столкновения совпадает с тестовым значением с относительной ошибкой в 2%, что позволяет говорить о применимости данного метода в реальном сервисе по уклонению от опасных сближений.**

# Используемые источники

- CelesTrak: SATCAT Boxscore. (n.d.). <https://celestrak.org/satcat/boxscore.php>.
- *Rovetto R.J., Kelso T.S.* Preliminaries of a space situational awareness ontology. 26th AIAA/AAS Space Flight Mechanics meeting, Napa, 2016, No. 158 – 16 p.
- *Park S.H.* Nonlinear Trajectory Navigation [Ph.D. Thesis], University of Michigan, 2007 - 189 p.
- *Park R.S., Scheeres D.J.* Nonlinear Mapping of Gaussian Statistics: Theory and Applications to Spacecraft Trajectory Design. Journal of Guidance, Control, and Dynamics, 2006. Vol. 6, 1367–1375.
- *Frank, T.* Nonlinear Fokker – Planck Equations, Springer – Verlag: New York, 2005. XII – 404 p
- *Fujimoto, Kohei & Scheeres, D. & Alfriend, K.* Analytical Nonlinear Propagation of Uncertainty in the Two-Body Problem. Journal of Guidance, Control, and Dynamics, 2012. 35. 497-509. 10.2514/1.54385.
- *Fujimoto, K., and Scheeres, D. J.,* Rapid Non-Linear Uncertainty Propagation via Analytical Techniques, Proceedings of the Air Force Maui Optical and Space Surveillance (AMOS) Technologies Conference Maui Economic Development Board, Kihei, HI, 2012.
- *Luo, Yazhong & Yang, Zhen.* A review of uncertainty propagation in orbital mechanics. Progress in Aerospace Sciences, 2016. 89. 10.1016/j.paerosci.2016.12.002

**Спасибо за внимание !**

# Приложение

# Приближение о гауссовых ошибках

Если принять упрощение, что ошибки описывается гауссовым распределением, то функция плотности вероятности примет вид:

$$p(\delta \mathbf{x}^o, t^o) = \frac{1}{\sqrt{(2\pi)^n \det \mathbf{P}^o}} \exp\left\{-\frac{1}{2}(\delta \mathbf{x}^o - \delta \mathbf{m}^o)^T \mathbf{\Lambda}^o (\delta \mathbf{x}^o - \delta \mathbf{m}^o)\right\}$$

В этом случае выражение для оператора ожидаемого значения от многомерного случайной величины имеет вид:

$$E[\mathbf{x}_i] = \mathbf{m}_i$$

$$E[\mathbf{x}_i \mathbf{x}_j] = \mathbf{m}_i \mathbf{m}_j + \mathbf{P}_{ij}$$

$$E[\mathbf{x}_i \mathbf{x}_j \mathbf{x}_k] = \mathbf{m}_i \mathbf{m}_j \mathbf{m}_k + (\mathbf{m}_i \mathbf{P}_{jk} + \mathbf{m}_j \mathbf{P}_{ik} + \mathbf{m}_k \mathbf{P}_{ij})$$

- Тогда моменты первого порядка определяются как:

$$\begin{aligned} \delta \mathbf{m}(t) &= \mathbf{\Phi} \delta \mathbf{m}^o \\ \mathbf{P}(t) &= \mathbf{\Phi} \mathbf{P}^o \mathbf{\Phi}^T - \delta \mathbf{m} \dot{\delta \mathbf{m}}^T \end{aligned}$$

- Вероятностные моменты второго порядка :

$$\delta m_i(t) = \frac{1}{2} \mathbf{\Phi}_{i,ab} \mathbf{P}_{ab}^o$$

$$\begin{aligned} \mathbf{P}_{ij}(t) &= \mathbf{\Phi}_{i,a} \mathbf{\Phi}_{j,\alpha} \mathbf{P}_{a\alpha}^o - \delta m_i \delta m_j + \frac{1}{4} \mathbf{\Phi}_{i,ab} \mathbf{\Phi}_{j,\alpha\beta} \left[ \mathbf{P}_{ab}^o \mathbf{P}_{\alpha\beta}^o \right. \\ &\quad \left. + \mathbf{P}_{a\alpha}^o \mathbf{P}_{b\beta}^o + \mathbf{P}_{a\beta}^o \mathbf{P}_{b\alpha}^o \right] \end{aligned}$$

- Вероятностные моменты третьего порядка :

$$\delta m_i(t^k) = \sum_{p=1}^3 \frac{1}{p!} \mathbf{\Phi}_{i,k_1 \dots k_p} E[\delta x_{k_1}^o \dots \delta x_{k_p}^o]$$

# Орбитальные элементы

Орбитальные элементы Пуанкаре применяются в связи с тем, что образуют связные группы, где каждая пара элементов описывает угловое положение, ее угловое движение и геометрию орбиты. Функция обратного решения, описывается через данные элементы следующим образом:

$$\begin{aligned}L^0(t) &= L & l^0(t) &= l + \mu^2/L^3(t^0 - t) \\G^0(t) &= G & g^0(t) &= g \\H^0(t) &= H & h^0(t) &= h\end{aligned}$$

Орбитальные элементы Делоне определяются как (использованы аналогичные буквенные обозначения):

$$\begin{aligned}L &= \sqrt{\mu a} & l &= M \\G &= L\sqrt{1 - e^2} & g &= \omega \\H &= G \cos i & h &= \Omega\end{aligned}$$

С учетом  $J_2$  прямое решение выражается как:

$$\begin{aligned}L(t) &= L^0 & l(t) &= l^0 + \left[ \frac{-3\mu^4 r_E^2 J_2 \{(G^0)^2 - 3(H^0)^2\}}{4(L^0)^4 (G^0)^5} + \frac{\mu^2}{(L^0)^3} \right] \Delta t \\G(t) &= G^0 & g(t) &= g^0 + \left\{ \frac{-3\mu^4 r_E^2 J_2}{4(L^0)^3 (G^0)^4} + \frac{15\mu^4 r_E^2 J_2 (H^0)^2}{4(L^0)^3 (G^0)^6} \right\} \Delta t \\H(t) &= H^0 & h(t) &= h^0 - \frac{3\mu^4 r_E^2 J_2 H^0}{2(L^0)^3 (G^0)^5} \Delta t\end{aligned}$$

# Расчет вероятности столкновения

